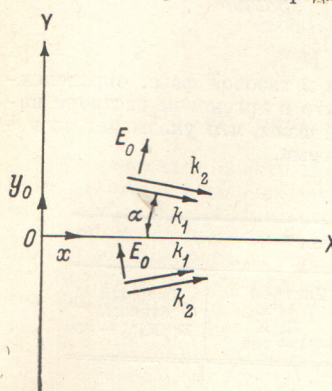


# ОБ ИЗЛУЧЕНИИ ВАВИЛОВА—ЧЕРЕНКОВА ОТ СВЯЗАННЫХ ЗАРЯДОВ

A. K. Шевченко

Вопрос об излучении Вавилова—Черенкова от связанных зарядов, поднятый в работах Аскарьяна [1], был исследован им лишь в общих чертах. В частности, оценка излучаемой мощности была произведена на простейшем примере луча, распространяющегося в бесконечной нелинейной среде и промодулированного моноимпульсом. В последнее время был предложен способ формирования такой структуры связанных

зарядов, при которой излучаемая мощность существенно возрастает [2]. Однако расчет, приведенный в [2], относился к упрощенной модели и не учитывал ни потерь в среде, ни влияния резонатора. Ниже дается более полная и строгая теория эффекта. Зададим усредненную по оптической частоте нелинейную часть поляризации в виде плоской слоистой структуры



Взаимная ориентация монохроматических волн, приводящая к возникновению плоскостной структуры связанных зарядов.

жющей в диапазоне  $\omega_1 \div \omega_2$ . Система координат декартова, ось OZ перпендикулярна плоскости рисунка.

Поляризации в виде (1) соответствуют плотность связанных зарядов  $\rho_{\text{св.}}$  и ток поляризации  $j$ , равные

$$\left. \begin{aligned} \rho_{\text{св.}} &= -\frac{\partial P_y}{\partial y} = \rho_0 \cos \chi e^{i(k_0 x - \omega_0 t)}, \quad \rho_0 = -2x \chi E_0^2, \\ j &= y_0 \frac{\partial P_y}{\partial t} = \frac{i \omega_0 \rho_0}{\chi} \sin \chi e^{i(k_0 x - \omega_0 t)} y. \end{aligned} \right\} \quad (2)$$

Выражения (2) для простоты заданы в бесконечном пространстве. Такая постановка задачи позволяет получить решение для поля излучения, которое справедливо в среде, ограниченной прямоугольным резонатором, в одном, но наиболее важном случае, когда резонансная частота равна  $\omega_0$ , а потери в стенках отсутствуют.

Задача об излучении системы зарядов и токов (2) решается с помощью уравнений Максвелла для Фурье-компонент электродинамических потенциалов  $\varphi_k$  и  $A_k$

$$\left. \begin{aligned} \epsilon \left( \mathbf{k}^2 \varphi_k + \frac{\epsilon}{c^2} \frac{\partial^2 \varphi_k}{\partial t^2} \right) &= \frac{\rho_0}{2\pi^2} e^{-i\omega_0 t} \int \int \int_{-\infty}^{\infty} \cos \chi e^{i k_0 x} e^{-i \mathbf{k} \cdot \mathbf{r}} d\mathbf{r} = \\ &= 2\pi \rho_0 \delta(k_0 - k_x) [\delta(\chi - k_y) + \delta(\chi + k_y)] \delta(k_z) e^{-i\omega_0 t}, \\ \mathbf{k}^2 (A_y)_k + \frac{\epsilon}{c^2} \frac{\partial^2 (A_y)_k}{\partial t^2} &= \frac{i \rho_0 \omega_0}{2\pi^2 c \chi} e^{-i\omega_0 t} \int \int \int_{-\infty}^{\infty} \sin \chi e^{i k_0 x} e^{-i \mathbf{k} \cdot \mathbf{r}} d\mathbf{r} = \\ &= \frac{2\pi \rho_0 \omega_0}{c \chi} \delta(k_0 - k_x) [\delta(\chi - k_y) - \delta(\chi + k_y)] \delta(k_z) e^{-i\omega_0 t}. \end{aligned} \right\} \quad (3)$$

Здесь  $\epsilon$  — диэлектрическая постоянная среды на частоте  $\omega_0$ . Полагая временную зависимость потенциалов в виде  $e^{-i\omega_0 t}$ , получаем

$$\left. \begin{aligned} \varphi_k &= \frac{2\pi\rho_0\delta(k_0 - k_x)[\delta(x - k_y) + \delta(x + k_y)]\delta(k_z)e^{-i\omega_0 t}}{\epsilon\left(\mathbf{k}^2 - \frac{\epsilon\omega_0^2}{c^2}\right)}, \\ (A_y)_k &= \frac{2\pi\rho_0\omega_0\delta(k_0 - k_x)[\delta(x - k_y) - \delta(x + k_y)]\delta(k_z)e^{-i\omega_0 t}}{zc\left(\mathbf{k}^2 - \frac{\epsilon\omega_0^2}{c^2}\right)}. \end{aligned} \right\} \quad (4)$$

Напряженность электрического поля равна

$$\begin{aligned} \mathbf{E} &= \int_{-\infty}^{\infty} \left[ \mathbf{y}_0 \frac{i\omega_0}{c} (A_y)_k - ik\varphi_k \right] e^{i\mathbf{k}\mathbf{r}} d^3k = \\ &= -\mathbf{x}_0 \frac{4i\pi\rho_0 k_0 \cos xy}{\epsilon\left(x^2 + k_0^2 - \frac{\epsilon\omega_0^2}{c^2}\right)} e^{i(k_0x - \omega_0 t)} + \\ &\quad + \mathbf{y}_0 \frac{4\pi\rho_0 (x^2 c^2 - \epsilon\omega_0^2) \sin xy}{z\epsilon c^2 \left(x^2 + k_0^2 - \frac{\epsilon\omega_0^2}{c^2}\right)} e^{i(k_0x - \omega_0 t)}. \end{aligned} \quad (5)$$

Средняя плотность мощности, отдаваемой полю сторонними силами, равна  $\bar{w} = -\bar{E}_y j_y^*$ . Чтобы найти ее максимальное значение, явно введем в выражение для  $E_y$  малые потери, представив  $\epsilon$  в виде  $\epsilon = \epsilon_0 + i\epsilon_1$ , где  $(\epsilon_1/\epsilon_0) \ll 1$ . Тогда

$$E_y = \frac{4\pi\rho_0 \sin xy e^{i(k_0x - \omega_0 t)}}{z} \frac{c^2 z^2 - \epsilon_0 \omega_0^2 - i\epsilon_1 \omega_0^2}{\epsilon_0 [c^2 z^2 - \omega_0^2 (\epsilon_0 - n^2)] + i\epsilon_1 [c^2 z^2 - \omega_0^2 (2\epsilon_0 - n^2)]}. \quad (6)$$

Максимальное значение  $(E_y)_{\max}$  в первом приближении получается при равенстве нулю действительной части знаменателя в выражении (6), т. е. при

$$z_0 = \frac{\omega_0}{c} \sqrt{\epsilon_0 - n^2} = \alpha_0 (k_1 + k_2), \quad (7)$$

$$(E_y)_{\max} = -i \frac{4\pi\rho_0 \sin xy e^{i(k_0x - \omega_0 t)}}{z_0} \frac{n^2}{\epsilon_1 \epsilon_0}. \quad (8)$$

Из выражения (7) следует, что действительные значения  $z_0$  и  $\alpha_0$  можно получить только при выполнении неравенства

$$\epsilon_0 - n^2 > 0. \quad (9)$$

Так как скорость распространения колебаний с частотой  $\omega_0$  равна  $v_\omega = c/n_\omega = c/\sqrt{\epsilon_0}$ , а скорость, с которой перемещается распределение связанных зарядов, равна  $v_{\text{св.}} = \omega_0/k_0 = c/n$ , то из условия (9) получаем соотношение, характерное для эффекта Бавилова—Черенкова,

$$v_{\text{св.}} > v_\omega. \quad (10)$$

Если в качестве нелинейной среды взят, например, ионный кристалл, для выполнения условия (9) необходимо, чтобы частоты  $\omega_1$  и  $\omega_2$  лежали бы по разные стороны от инфракрасной области поглощения.

Из (2) и (8) находим максимальное значение средней плотности мощности, выделяемой сторонними силами

$$\bar{w}_{\max} = \frac{4\pi\chi^2 n^2 \omega_0 E_0^4}{\epsilon_1 \epsilon_0}. \quad (11)$$

Выразим  $E_0$  через плотность потока световой энергии  $P$  на одной из частот  $E_0^2 = 4\pi P/cn$  и подставим в (11)

$$\bar{w}_{\max} = \frac{\pi\omega_0}{\epsilon_1 \epsilon_0} \left( \frac{8\pi\chi P}{c} \right)^2. \quad (12)$$

Перейдем к среде, ограниченной резонатором. Из (5) и (7) следует, что резонатор для колебаний с частотой  $\omega_0$  может быть образован металлическими плос-

костями без потерь, параллельными плоскости  $XOZ$  и пересекающими ось  $OY$  в точках

$$y_m = \frac{\pi}{\omega_0} \left( \frac{1}{2} + m \right), \quad (13)$$

где  $m$  — любое целое число. Отсюда расстояние между пластинами

$$H = \frac{M\pi}{\omega_0} = M\pi \frac{c}{\omega_0 \sqrt{\epsilon_0 - n^2}}, \quad (14)$$

где  $M$  — целое положительное число. Мощность входящего в резонатор светового луча одной из частот равна  $W = PH$ ; мощность на частоте  $\omega_0$ , выделяемая на единицу длины резонатора, равна тогда

$$w_{\max} = \bar{w}_{\max} H = \frac{\sqrt{\epsilon_0 - n^2}}{Mc\epsilon_1\omega_0} \left( \frac{8\pi\omega_0\chi W}{c} \right)^2. \quad (15)$$

Для оценки эффекта подставим ориентировочные значения:  $\epsilon_0 = 10$ ,  $\epsilon_1 = 10^{-2}$ ,  $M = 10$ ,  $n = 1.7$ ,  $\omega_0 = 10^{13}$ ,  $\chi = 10^{-9}$  СГСЕ,  $W = 10^7$  вт =  $10^{14}$  эрг/сек. Тогда  $W_{\max} = 10$  вт.

Отметим, что в отличие от хорошо известного метода выделения разностной частоты с помощью фазового синхронизма, метод, описанный выше, позволяет реализовать условие максимальной эффективности преобразования (7) практически в любой нелинейной среде и не ограничивает рабочее пространство длиной синхронизма.

#### Литература

- [1] Г. А. Аскарьян. ЖЭТФ, 42, 1360, 1962; 45, 643, 1963.  
[2] Л. С. Корниенко, Н. В. Кравцов, А. К. Шевченко. Письма в ЖЭТФ, 18, 211, 1973.

Поступило в Редакцию 1 февраля 1974 г.

УДК 535.375.5 : 548.0

## СПЕКТР МАЛЫХ ЧАСТОТ МОНОКРИСТАЛЛА 1,3,5-ТРИХЛОРБЕНЗОЛА

В. Ф. Шабанов, В. Г. Подопригора и В. П. Спиридовонов

Интерпретация спектра малых частот является одной из наиболее важных задач при изучении предельных решеточных колебаний, поскольку лишь при верном отнесении линий можно получить основные микро- и макроскопические параметры кристалла из спектральных данных.

Целью настоящей работы является теоретическое и экспериментальное исследование спектра малых частот 1,3,5-трихлорбензола.

Это вещество кристаллизуется в орторомбической пространственной группе симметрии  $P2_12_12_1$  ( $D_{2h}^4$ ) с четырьмя молекулами в элементарной ячейке [1]. Внешние колебания молекул ячейки описываются 12 трансляционными и 12 ориентационными координатами. Из них 3 трансляционных являются акустическими. Теоретико-групповое рассмотрение позволяет классифицировать оптические колебания по типам симметрии следующим образом:

$$\Gamma_{\text{оп.}} = 3A + 3B_1 + 3B_2 + 3B_3,$$

$$\Gamma_{\text{тр.}} = 3A + 2B_1 + 2B_2 + 2B_3.$$

Все они активны в спектре комбинационного рассеяния.

Спектр комбинационного рассеяния 1,3,5-трихлорбензола изучался ранее в неизотизированном свете в работе [2], где приводятся 6 линий. В работе [3] проведены поляризационные съемки монокристалла данного соединения, что дало возможность выявить 16 линий и разнести их по типам симметрии. Однако авторами [3] направления кристаллографических осей  $a$  и  $b$  выбраны произвольно, и поэтому, естественно, их интерпретация антисимметричных колебаний является неоднозначной.

Необходимые для исследований в настоящей работе монокристаллы были выращены из расплава в трубке с оттянутым капилляром. Ориентировка их производилась на рентгеноспектрометре с точностью до  $10'$ .

В качестве источника возбуждения спектра использовался лазер на ионизированном аргоне с керамическим капилляром и ртутным катодом. Длина волны возбуждаю-